Représentation complexe

$$j^2 = -1$$
 et $j = \exp(j\pi/2)$

$$|\underline{z}| = \sqrt{x^2 + y^2}$$

$$\underline{z} = |\underline{z}| \cdot \left| \frac{x}{|z|} + j \frac{y}{|z|} \right|$$

$$\underline{z} = x + jy \qquad |\underline{z}| = \sqrt{x^2 + y^2} \qquad \underline{z} = |\underline{z}| \cdot \left[\frac{x}{|\underline{z}|} + j \frac{y}{|\underline{z}|} \right]$$

$$\underline{z} = |\underline{z}| e^{j\varphi} = |\underline{z}| [\cos\varphi + j\sin\varphi] \operatorname{donc} \cos\varphi = \frac{x}{|\underline{z}|} \sin\varphi = \frac{y}{|\underline{z}|} \quad \tan\varphi = \frac{y}{x}$$

<u>Hypothèses</u>: Dipôle linéaire passif en convention récepteur

parcouru par
$$i(t) = \text{Im cos } (\omega t + \varphi_i)$$

parcouru par
$$i(t) = \text{Im } \cos(\omega t + \varphi_i)$$
 $\underline{i}(t) = \text{Im } \exp[j(\omega t + \varphi_i)] = \underline{\text{Im}} \exp(j\omega t)$

où Im= Im $\exp(j\varphi_i)$

$$\hat{\varphi} = \frac{1}{2} \left(\frac{1}{2} + \frac{1}{2} \right) = \frac{1}{2} \left(\frac{1}{2} + \frac{1}{2} \right)$$

à ses bornes
$$u(t) = Um \cos(\omega t + \varphi_u)$$
 $\underline{u}(t) = Um \exp[i(\omega t + \varphi_u)] = \underline{Um} \exp(i\omega t)$

où $\underline{Um} = Um \exp(j\phi_u)$

$$\underline{Z} = \frac{\underline{u}}{i}$$

Admittance complexe du dipôle

$$\underline{Y} = \frac{1}{\underline{Z}} = \frac{\underline{i}}{\underline{u}}$$

Résistor :
$$Z_R = R$$

Bobine idéale :
$$Z_L = iL_0$$

Résistor:
$$\underline{Z}_R = R$$
 Bobine idéale: $\underline{Z}_L = jL\omega$ Condensateur parfait: $\underline{Z}_C = \frac{1}{iC\omega}$



1) Etude de l'intensité

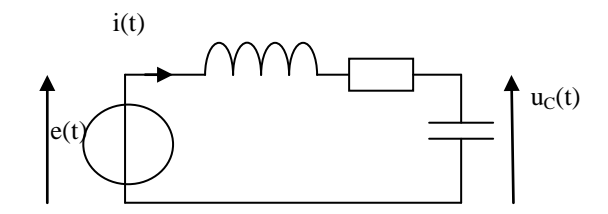
$$e(t)=Em \cos (\omega t)$$

$$e = Em e^{j\omega t}$$

$$i(t) = Im \cos(\omega t + \varphi_i)$$

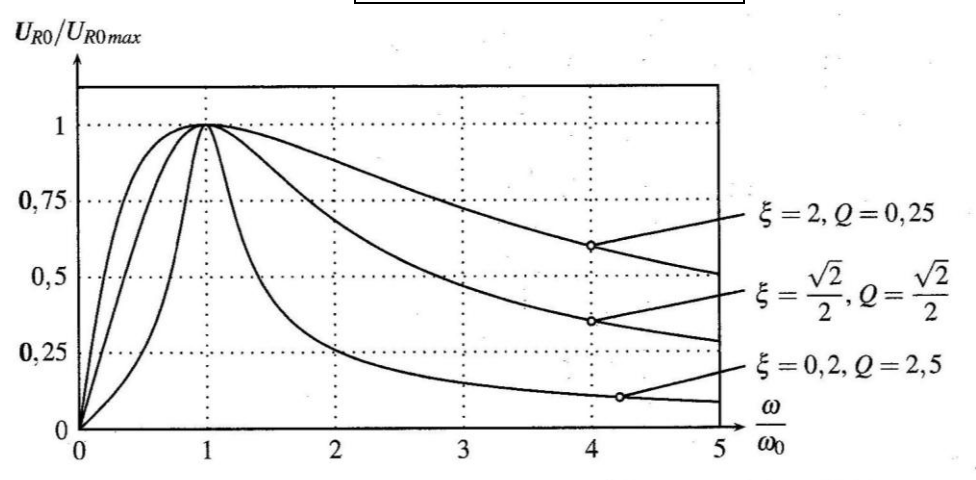
$$=\underline{Im}\,e^{j\omega t}$$

e(t)=Em cos (
$$\omega$$
t) $\underline{e} = Em e^{j\omega t}$
i(t) = Im cos (ω t+ φ _i) $\underline{i} = \underline{Im} e^{j\omega t}$
Equation de maille en complexe : $\underline{e} = \underline{Im} = \frac{\underline{Im}}{Em} = \frac{1}{R+j(L\omega-\frac{1}{C\omega})}$



puis on étudie le module et l'argument en fonction de ω .

Equation différentielle :
$$\frac{d^2i}{dt^2} + \frac{\omega_0}{Q} \frac{di}{dt} + \omega_0^2 i(t) = \frac{1}{L} \frac{de}{dt}$$
à retrouver



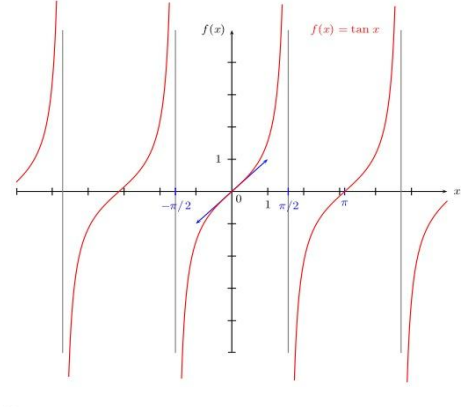
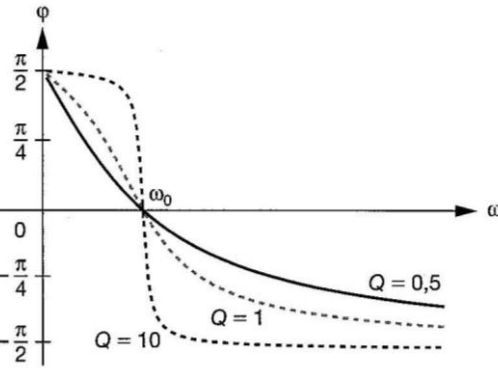


Figure 10.17 - Rapports de l'amplitude de u_R à sa valeur maximale (R variable).



Bande passante à -3dB: Intervalle de pulsation pour lequel $I_m \ge \frac{I_{mr}}{\sqrt{2}}$

$$\frac{\Delta\omega}{\omega_0} = \frac{1}{Q} \qquad \qquad \varphi = \mp \frac{\pi}{4}$$

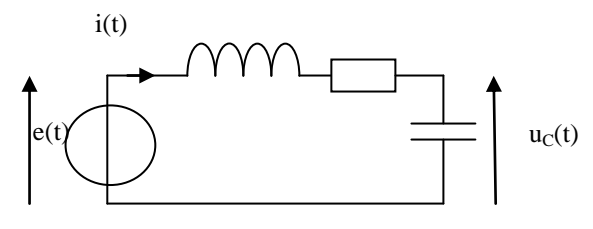
$$\varphi = \mp \frac{\pi}{4}$$

Im_r: amplitude de l'intensité à la résonance.

2) Etude de la tension aux bornes du condensateur

e(t)=Em cos (
$$\omega$$
t) $\underline{e} = Em e^{j\omega t}$
 $u_C(t) = Ucm cos (ω t+ φ_u) $\underline{u}_C = \underline{Ucm} e^{j\omega t}$$

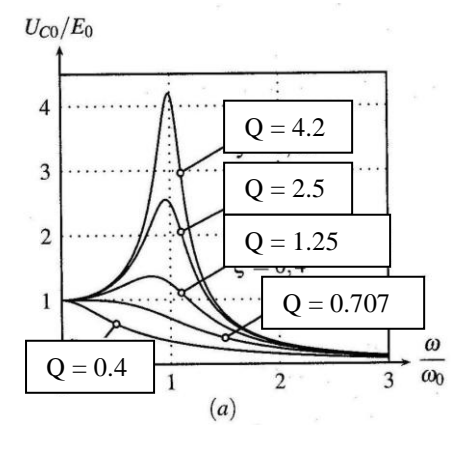
Pont diviseur de tension :
$$\frac{u_C}{e} = \frac{Ucm}{Em} = \frac{1}{1 - LC\omega^2 + jRC\omega}$$



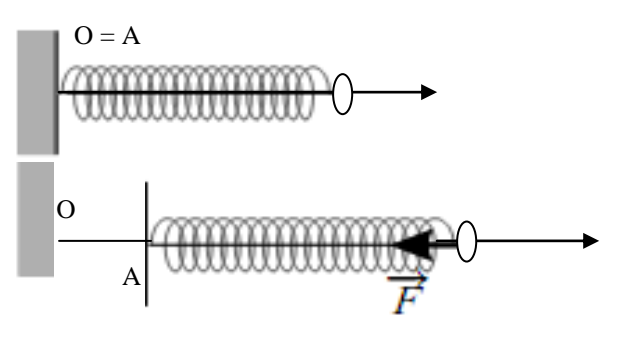
Retrouver
$$\frac{d^2 u_C}{dt^2} + \frac{\omega_0}{Q} \frac{du_C}{dt} + \omega_0^2 u_C(t) = \omega_0^2 e(t)$$

$$\frac{\underline{Ucm}}{\underline{Em}} = \frac{1}{1 - x^2 + j\frac{x}{Q}} \text{ où } x = \frac{\omega}{\omega_0} \text{ et } \omega_r \text{ est la pulsation de résonance pour } Q > \frac{1}{\sqrt{2}}$$

Figure 10.19 - Étude de la résonance aux bornes du condensateur



II L'oscillateur harmonique amorti



$$\ell = x_M - x_A \text{ et } x_1 = x_M - \ell_0$$

Force de frottement fluide : $\overrightarrow{F_f} = -\alpha \vec{v}$

Force de rappel du ressort : $\vec{F_r} = -k(\ell - \ell_0)\vec{e}_x$

$$\frac{d^2 x_1}{dt^2} + \frac{\alpha}{m} \frac{dx_1}{dt} + \frac{k}{m} x_1 = \frac{k}{m} x_A$$

$$\frac{d^2 x_1}{dt^2} + \frac{\omega_0}{Q} \frac{dx_1}{dt} + \omega_0^2 x_1 = \omega_0^2 x_A$$

$$\frac{d^{2}x_{1}}{dt^{2}} + \frac{\omega_{0}}{Q} \frac{dx_{1}}{dt} + \omega_{0}^{2}x_{1} = \omega_{0}^{2}x_{A}$$

 $x_A(t) = A \cos(\omega t) \operatorname{donc} \underline{x}_A = Ae^{j\omega t}$

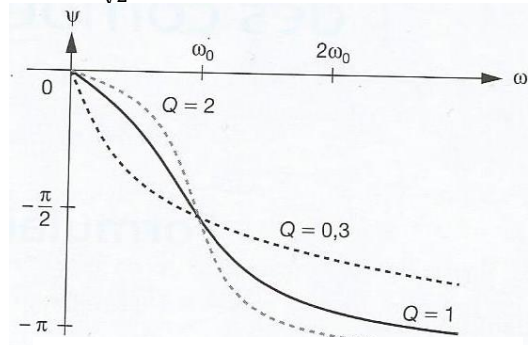
 $x_1(t) = Xm \cos(\omega t + \varphi) \operatorname{donc} \underline{x_1} = \underline{X}e^{j\omega t}$: mêmes courbes que u_C

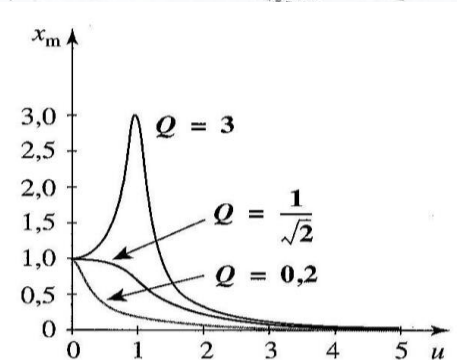
$$\frac{\underline{X}}{A} = \frac{1}{1 - u^2 + j\frac{u}{Q}} \text{ où } u = \frac{\omega}{\omega_0}$$

 $v = \frac{dx_1}{dt}$ donc $\underline{V} = j\omega \underline{X}$

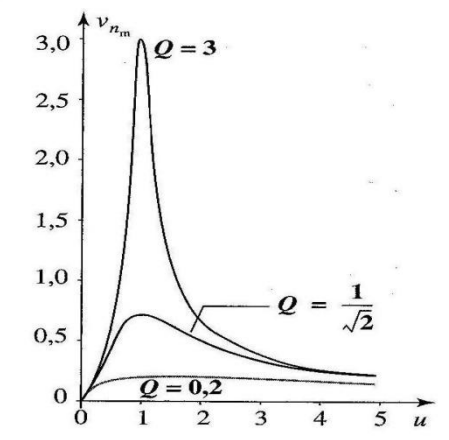
même courbe de phase que i

$$\frac{V}{A} = \frac{\omega_0 Q}{1 + jQ(u - \frac{1}{u})}$$





Doc. 8. Variation de l'amplitude normalisée $x_{n_{\rm m}} = \frac{x_{\rm m}}{x_{A_{\rm m}}}$ de la réponse en élongation en fonction de $u = \frac{\omega}{\omega_0}$ pulsation normalisée de l'excitation pour différents amortissements.



Doc. 12. Variation de l'amplitude : $v_{n_{\rm m}} = \frac{v_{\rm m}}{\omega_0 x_{A_{\rm m}}}$ de la réponse en vitesse en fonction de la pulsation normalisée $u = \frac{\omega}{\omega_0}$ de l'excitation, pour différents